

บทที่ 3

ทฤษฎีที่เกี่ยวข้อง

พฤติกรรมของคานขวางที่สำคัญคือ กำลังรับแรงเฉือนของบ่ารองรับ กำลังการรับแรงตัด การแอ่นตัว และขนาดรอยแตกร้าว ซึ่งในการออกแบบคานขวางการวิบัติเนื่องจากแรงเฉือนในบ่ารองรับจะต้องไม่เกิดขึ้น และมีกำลังรับโมเมนต์ตัดเพียงพอต่อน้ำหนักที่มากกระทำ โดยที่การแอ่นตัว และขนาดของรอยแตกร้าวจะต้องอยู่ในช่วงที่ยอมรับได้ ในบทนี้จะกล่าวถึงทฤษฎีเกี่ยวกับพฤติกรรมของคานขวางตามที่กล่าวข้างต้น

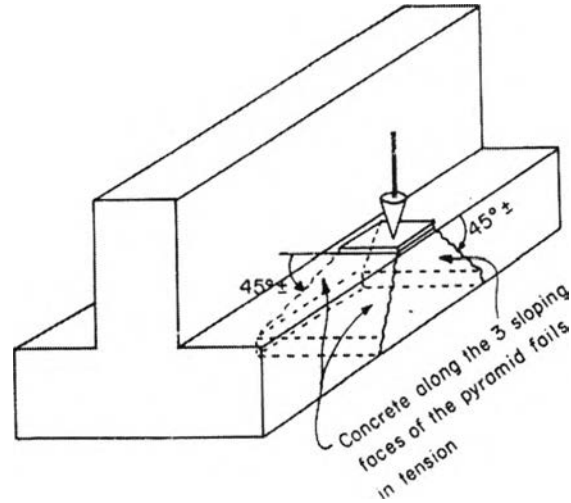
3.1 กำลังรับแรงเฉือนของบ่ารองรับ

บ่าของคานขวางทำหน้าที่รองรับคานหลักโดยส่งผ่านแรงจากแผ่นยางรองรับ (bearing pad) ดังนั้นกำลังรับแรงเฉือนของบ่าจะต้องเพียงพอเพื่อไม่ให้เกิดการวิบัติแบบเฉพาะที่ในบ่ารองรับ โดยทั่วไปอัตราส่วนของความยาวช่วงรับแรงเฉือนต่อความลึกประสิทธิผลจะมีค่าน้อยกว่า 1.0 ดังนั้นกำลังรับแรงเฉือนที่กำหนดไว้ตามมาตรฐาน ACI318-05 สำหรับเป็นหูช้างสามารถนำมาประยุกต์ใช้พิจารณากำลังรับแรงเฉือนของบ่ารองรับ กำลังรับแรงเฉือนของบ่ารองรับที่ต้องพิจารณาประกอบด้วยกำลังรับแรงเฉือนทะเล, กำลังรับแรงเฉือนเสียดทาน, และกำลังรับแรงเฉือนการอัดแตกในคอนกรีต ซึ่งค่าความหนาของบ่ารองรับจะถูกพิจารณาตามกำลังรับแรงเฉือนที่กล่าวมา

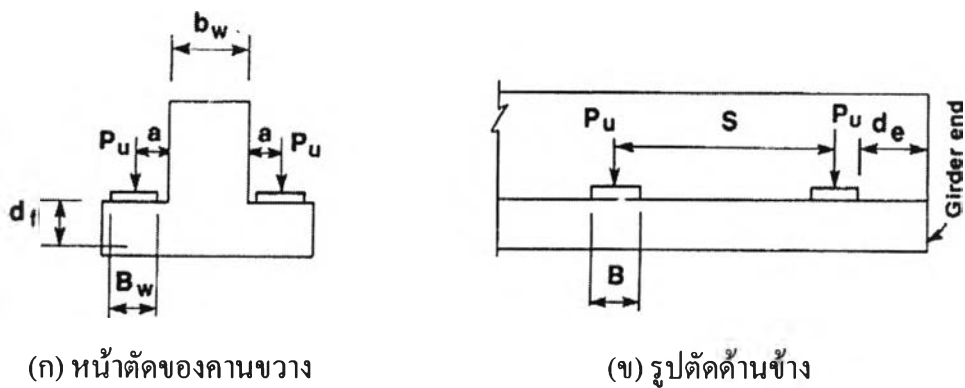
3.1.1 กำลังรับแรงเฉือนทะเล (punching shear resistance)

กำลังรับแรงเฉือนทะเลของบ่าที่รองรับ จะคำนวณจากแรงดึงที่ต้านทานด้วยคอนกรีตตามพื้นผิวรูปทรงพีรามิดยอตัดค้ำภายใต้แผ่นยางรองรับดังแสดงในรูปที่ 3.1 หน้าตัดวิกฤติสำหรับพิจารณาแรงดึงต้านทานโดยคอนกรีตมี 3 ด้านและทำมุมเอียง 45 องศาเทียบกับแนวระนาบที่วางแผ่นยางรองรับ แต่สำหรับบ่ารองรับคานหลักตัวริมของคานขวางหากต้องการให้รับกำลังรับแรงเฉือนแบบเจาะทะเลได้เท่ากับบ่าช่วงใน กล่าวคือมีหน้าตัดวิกฤติ 3 ด้าน จะต้องเว้นระยะจากขอบของแผ่นยางรองรับจนถึงริมของคานขวาง (d_c) ไว้อย่างน้อยเท่ากับผลรวมของความหนาของบ่าและความกว้างของแผ่นยางรองรับ ($d_f + B_w$) ในกรณีนี้ระยะ d_c น้อยกว่า

$d_f + B_w$ การคำนวณกำลังรับแรงเฉือนทะเลจะพิจารณาหน้าตัดวิกฤติลดลงเหลือเพียงสองด้าน (ดูรูปที่ 3.2 ประกอบ)



รูปที่ 3.1 การวิบัติที่แผ่นรองรับตัวในเนื่องจากแรงเฉือนแบบทะเล



(ก) หน้าตัดของคานขวาง

(ข) รูปตัดด้านข้าง

รูปที่ 3.2 ระยะการติดตั้งแผ่นยางรองรับ

กำลังรับแรงเฉือนทะเลของคอนกรีตจะพิจารณาตามสมการที่ (3.1ก) ถึง (3.1ค) โดยเลือกใช้ค่าน้อยที่สุด

$$V_c = 0.265 \left(2 + \frac{4}{\beta} \right) \sqrt{f'_c} b_o d_f \quad (3.1ก)$$

$$V_c = 0.265 \left(2 + \frac{\alpha_s d_f}{b_0} \right) \sqrt{f'_c} b_0 d_f \quad (3.1\text{ข})$$

$$V_c = 1.06 \sqrt{f'_c} b_0 d_f \quad (3.1ค)$$

โดยตัวแปรที่ใช้ในสมการมีนิยามดังนี้ (ดูรูปที่ 3.2 ประกอบ)

b_0 = เส้นแนวหน้าตัดวิกฤติอยู่ห่างจากขอบของแผ่นยางรองรับเท่ากับครึ่งหนึ่งของความลึกประสิทธิภาพ ในกรณีที่หน้าตัดวิกฤติเท่ากับ 3 ด้าน Mza และ $Hrlong$ (1985) ได้เสนอค่านี้ไว้เท่ากับ $B + 2B_w + 2d_f$ ในกรณีที่หน้าตัดวิกฤติเท่ากับ 2 ด้าน ค่านี้มีค่าเท่ากับ $B + B_w + d_f$

d_f = ความลึกประสิทธิภาพของบ่า

β = อัตราส่วนของด้านยาวต่อด้านสั้นของเสาหรือแรงเฉือนแบบจุดที่มักกระทำ ในที่นี้จะใช้ค่าอัตราส่วนความยาวต่อความกว้างของแผ่นยางรองรับ

α_s = 30 สำหรับกรณีที่มีหน้าตัดวิกฤติ 3 ด้าน และ 20 สำหรับกรณีที่มีหน้าตัดวิกฤติ 2 ด้าน

ในกรณีที่มีการเสริมเหล็กช่วยรับแรงเฉือนบางส่วน ค่ากำลังรับแรงเฉือนโดยคอนกรีต (V_c) จะถูกกำหนดให้ใช้ไม่เกิน $0.53 \sqrt{f'_c} b_0 d_f$ และค่ากำลังรับแรงเฉือนระบุ (V_n) เมื่อมีการเสริมเหล็กแล้วจะต้องมีค่าไม่เกิน $1.59 \sqrt{f'_c} b_0 d_f$

ในการศึกษานี้การคำนวณความหนาของบ่าของคานขวางจะใช้ค่ากำลังรับแรงเฉือนระบุในกรณีที่มีการเสริมเหล็กรับแรงเฉือนในการพิจารณา โดยจะแบ่งออกได้เป็น 2 กรณีคือเมื่อมีหน้าตัดวิกฤติรับแรงเฉือน 2 และ 3 ด้าน สำหรับคานหลักที่อยู่นอกสุดและคานหลักตัวในตามลำดับ ซึ่งแสดงไว้ในสมการที่ 3.2

$$d_f = -\frac{(B+B_w)}{2} + \sqrt{\frac{(B+B_w)^2}{4} + \frac{P_u}{\phi 1.59 \sqrt{f'_c}}} \quad (3.2)$$

$$d_f = -\frac{(B+B_w)}{4} + \sqrt{\frac{(B+B_w)^2}{16} + \frac{P_u}{2\phi 1.59 \sqrt{f'_c}}}$$

3.1.2 กำลังรับแรงเฉือนเสียดทาน (friction shear resistance)

กำลังรับแรงเฉือนเสียดทานของบ่าคานขวางจะขึ้นอยู่กับปริมาณเหล็กเสริมรับแรงเสียดทาน (shear-friction reinforcement) ที่บริเวณระนาบของรอยแตกตามสมการที่ (3.3)

$$V_u = \phi f_y A_{vf} \mu \quad (3.3)$$

โดยที่

V_u = ค่าแรงเฉือนเสียดทานมากที่สุดที่บารองรับต้านทานได้

A_{vf} = พื้นที่ของเหล็กเสริมรับแรงเฉือนเสียดทานในบริเวณระนาบของรอยแตก

f_y = กำลังครากของเหล็กเสริมรับแรงเฉือนเสียดทาน

μ = สัมประสิทธิ์แรงเสียดทานของคอนกรีต

อย่างไรก็ตามค่ากำลังต้านทานแรงเฉือนเสียดทานนี้จะต้องไม่เกินค่าที่กำหนดไว้ในสมการที่ (3.4)

$$V_u \leq 0.2\phi f'_c A_c \leq \phi 56 A_c \quad (3.4)$$

โดย

f'_c = กำลังรับแรงอัดคอนกรีตรูปทรงกระบอก

A_c = พื้นที่คอนกรีตต้านทานแรงเฉือน ซึ่ง Mza และ Burlong (1985, 1994) ได้เสนอไว้ว่ามีค่าเท่ากับ $(B + 4a)d_f$ (ดูรูปที่ 3.3 ประกอบ)

เนื่องจากกำลังพิจารณาถึงค่าความหนาแน่นน้อยสุดของบารองรับ สมการที่ (3.4) ซึ่งเป็นขอบเขตบนของกำลังรับแรงเฉือนเสียดทานจะถูกนำมาใช้พิจารณา ส่วนของปริมาณเหล็กเสริมรับแรงเฉือนเสียดทานนั้นจะต้องตรวจสอบให้รับแรงเฉือนได้เพียงพอ เนื่องจากงานวิจัยนี้เน้นไปที่พฤติกรรมของคานขวางกึ่งสำเร็จ รายละเอียดในการคำนวณหาเหล็กเสริมต้านทานแรงเฉือนเสียดทานจะไม่ขอกล่าวถึงในที่นี้

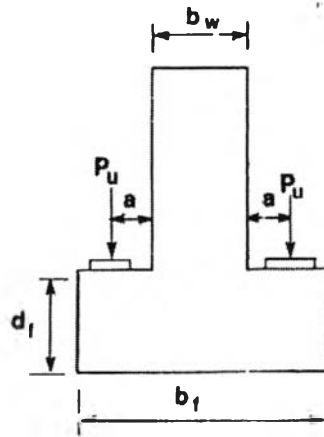
การคำนวณความหนาของบ่าของคานขวางเมื่อพิจารณากำลังรับแรงเฉือนเสียดทานของบ่า จะสามารถคำนวณได้จากสมการที่ (3.5)

$$d_f = \max \left(\frac{P_u}{0.2\phi f'_c (B + 4a)}, \frac{P_u}{\phi 56 (B + 4a)} \right) \quad (3.5)$$

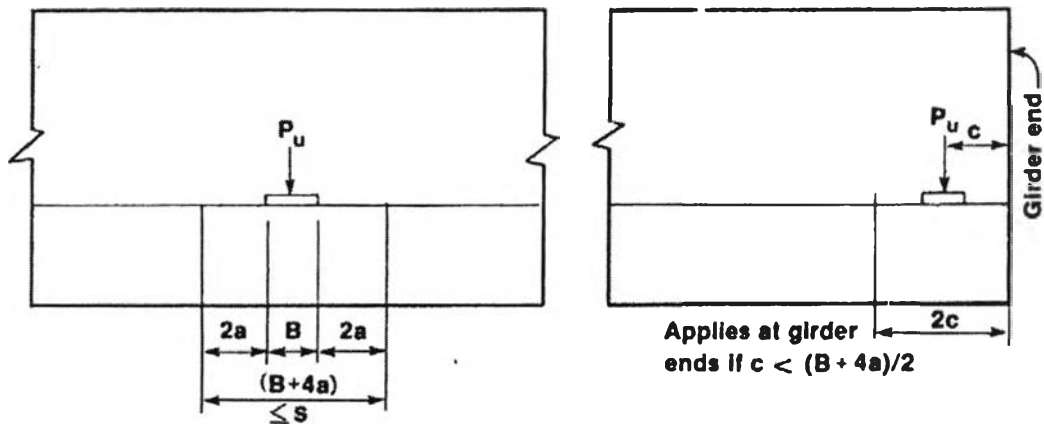
เมื่อ B = ความยาวของแผ่นยางรองรับ (แนวนานกับแกนคานขวาง)

a = ระยะจากผิวของส่วนเอวถึงศูนย์กลางของแผ่นยางรองรับ

P_u = แรงที่ถ่ายจากคานหลักสู่แผ่นยางรองรับ



(ก) หน้าตัดของคานขวาง



(ข) ความกว้างประสิทธิผลในการรับแรงเฉือนเสียดทานของบ่าคานขวาง

รูปที่ 3.3 ความกว้างประสิทธิผลของบ่ภายใต้แรงเฉือน

3.1.3 กำัดรับแรงเฉือนอัดแตกในแ่งคอนกรีตรับแรงอัด (compression shear failure)

แบบจำลองชิ้นส่วนรับแรงอัดและชิ้นส่วนรับแรงดึง (strut and tie model) ใช้วิเคราะห์กำัดของโครงสร้างคอนกรีตเสริมเหล็กโดยสมมติให้แรงอัดส่งผ่านแ่งคอนกรีต และแรงดึงส่งผ่านเหล็กเสริมหรือเหล็กเสริมอัดแรง รูปที่ 3.4 แสดงแ่งคอนกรีต (strut) เพื่อใช้ในการวิเคราะห์กำัดรับแรงเฉือนของแป้นหูช้างซึ่งสามารถนำมาประยุกต์ใช้กับบ่ารองรับในคานขวางได้

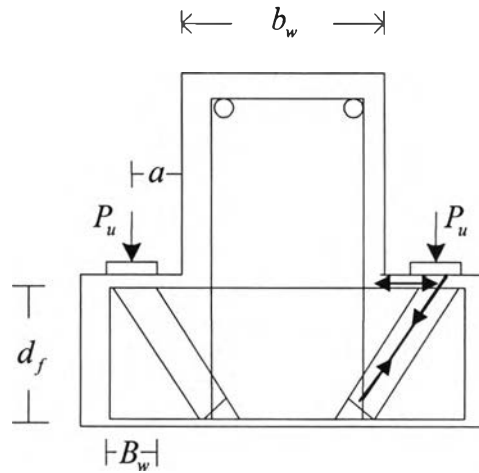
ในกรณีที่มีเหล็กเสริมเพียงพอการวิบัติจะเกิดขึ้นจากการอัดแตกของแ่งคอนกรีต ซึ่งมาตรฐาน $\text{SI}318-05$ กำหนดกำัดอัดแตกของแ่งคอนกรีตดังแสดงในสมการที่ (3.6)

$$F_{ns} = 0.85\beta_s f'_c A_{cs} \tag{3.6}$$

โดย

A_{cs} = พื้นที่หน้าตัดที่ปลายข้างใดข้างหนึ่งของแท่งคอนกรีตรับแรงอัด

$\beta_s = 0.6$ สำหรับแท่งคอนกรีตรับแรงอัดรูปขวดที่ไม่ได้เสริมเหล็ก



รูปที่ 3.4 แบบจำลองสตรัทและไทของบ่ารองรับ

ความกว้างประสิทธิภาพของหน้าตัดของแท่งคอนกรีตรับแรงอัดที่เชื่อมกับจุดต่อที่รับแรงอัด 2 ทิศทางและแรงดึง 1 ทิศทาง (C-C-T node) ดังแสดงในรูปที่ 3.5 หาได้จากขนาดความกว้างของแผ่นยางรองรับ (B_w) ขนาดความกว้างประสิทธิภาพของเหล็กเสริมรับแรงดึง และมุมระหว่างแท่งคอนกรีตรับแรงอัดและเหล็กเสริมรับแรงดึงดังแสดงในสมการที่ (3.7)

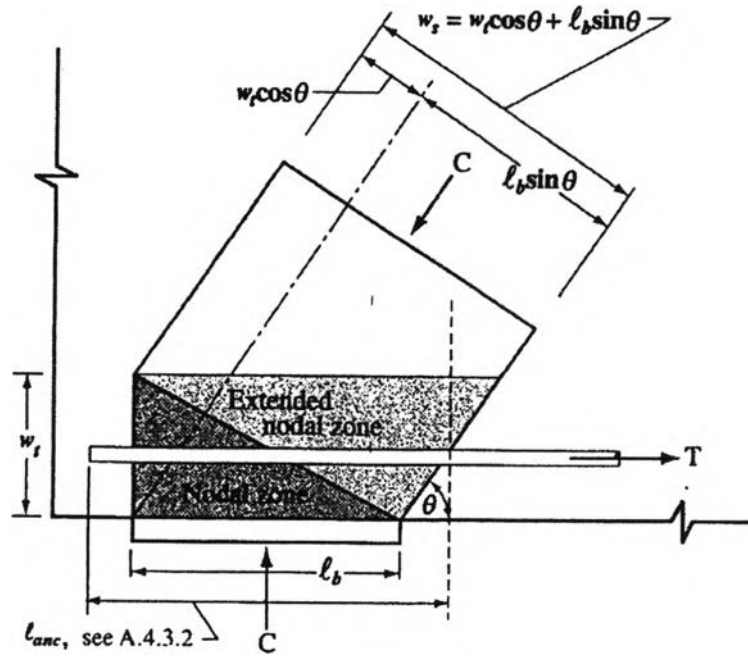
$$w_c = w_t \cos \theta + B_w \sin \theta \quad (3.7)$$

โดย

w_c = ขนาดความกว้างประสิทธิภาพของแท่งคอนกรีตรับแรงอัด

w_t = ขนาดความกว้างประสิทธิภาพของเหล็กเสริมรับแรงดึง ซึ่งมีค่าเท่ากับ 2 เท่าของระยะหุ้มเหล็กเสริมบวกกับขนาดของเหล็กเสริมเมื่อมีการเสริมเหล็ก 1 ชั้น

θ = มุมระหว่างแท่งคอนกรีตรับแรงอัดและเหล็กเสริมรับแรงดึง



รูปที่ 3.5 ขนาดความกว้างของชิ้นส่วนคอนกรีตเสริมเหล็ก
ในชิ้นส่วนรับแรงดึง 1 ชั้น

จากสมมูลของแรงที่กระทำ ณ จุดถ่ายแรงจากคานหลัก (ดูรูปที่ 3.4) จะสามารถหาค่าหน่วยแรงในแท่งคอนกรีตรับแรงอัดได้ ซึ่งค่าหน่วยแรงนี้จะต้องน้อยกว่าค่ากำลังรับแรงอัดที่ให้ไว้ในสมการที่ (3.8)

$$\frac{P_u}{\sin \theta} \leq \phi F_{ns} \tag{3.8}$$

$$= \phi (0.85 \times 0.6 \times f'_c) (B) (B_w \sin \theta + w_r \cos \theta)$$

โดยที่

$$\sin \theta = \frac{d_f}{\sqrt{d_f^2 + a^2}}$$

$$\cos \theta = \frac{a}{\sqrt{d_f^2 + a^2}}$$

เพื่อพิจารณาค่าความลึกประสิทธิภาพของบารองรับจะต้องแก้สมการที่ (3.8) จะได้สมการ (3.9)

$$d_f = \frac{-\left(a \frac{w_r}{B_w}\right) + \sqrt{\left(a \frac{w_r}{B_w}\right)^2 - 4 \times \left(1 - \frac{P_u}{\phi (0.85 \times 0.6 \times f'_c) (B \times B_w)}\right) \left(\frac{P_u a^2}{\phi (0.85 \times 0.6 \times f'_c) (B \times B_w)}\right)}}{2 \left(1 - \frac{P_u}{\phi (0.85 \times 0.6 \times f'_c) (B \times B_w)}\right)} \tag{3.9}$$

3.2 พฤติกรรมการรับแรงดัดในขั้นตอนการก่อสร้างชิ้นส่วนสำเร็จรูป (บ่ารองรับ)

ในขั้นตอนของการก่อสร้างคานคอนกรีตสำเร็จรูปซึ่งคือส่วนของบ่ารองรับ จนถึงการหล่อส่วนเอวเป็นคานขวางรูปตัวทีหงาย พฤติกรรมจะอยู่ในช่วงอิลาสติก กล่าวคือไม่มีรอยแตกในคอนกรีต และเหล็กเสริมอัดแรงไม่ถึงจุดคราก ซึ่งสามารถนำทฤษฎีอิลาสติกมาวิเคราะห์หาหน่วยแรงที่เกิดขึ้นในคอนกรีต หน่วยแรงนี้จะขึ้นอยู่กับค่าโมเมนต์เนื่องจากแรงน้ำหนักชิ้นส่วนสำเร็จรูปและน้ำหนักคอนกรีตเหลวที่ใช้หล่อส่วนของเอวในที่ก่อสร้าง ในกรณีที่เป็นคานคอนกรีตเสริมเหล็กค่าหน่วยแรงจะคำนวณตามสมการที่ (3.10ก) ในกรณีที่เป็นคานคอนกรีตเสริมเหล็กอัดแรงค่าหน่วยแรงยังจะขึ้นอยู่กับแรงอัดประสิทธิผลในขั้นตอนการก่อสร้างนี้ ($F_{e,f}$) ตามสมการที่ (3.10ข)

$$f = \mp \frac{M_{D,f}y_f}{I_f} \mp \frac{M_{D,w}y_f}{I_f} \quad (3.10ก)$$

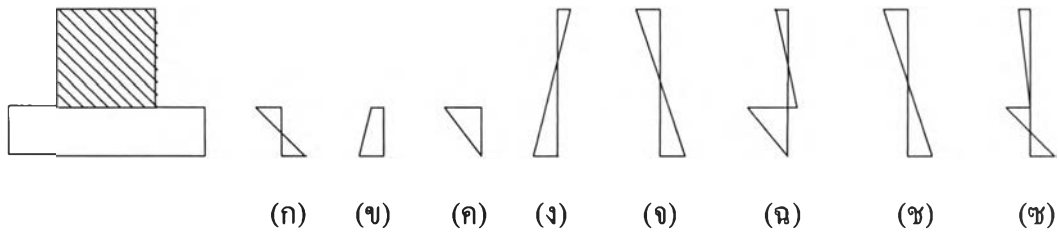
$$f = -\frac{F_{e,f}}{A_f} \pm \frac{F_{e,f}e_f y_f}{I_f} \mp \frac{M_{D,f}y_f}{I_f} \mp \frac{M_{D,w}y_f}{I_f} \quad (3.10ข)$$

โดยที่ตัวแปรในสมการคือ (รูปที่ 3.6ก-3.6ค)

- f = หน่วยแรงใดๆ บนหน้าตัด
- $F_{e,f}$ = แรงอัดประสิทธิผลในขั้นตอนการก่อสร้างบ่ารองรับ
- e_f = ระยะเยื้องศูนย์กลางของแรงอัดในบ่ารองรับ
- y_f = ตำแหน่งใดๆ บนหน้าตัด
- $M_{D,f}$ = ค่าโมเมนต์เนื่องจากน้ำหนักของบ่ารองรับ
- $M_{D,w}$ = ค่าโมเมนต์เนื่องจากน้ำหนักของเอว
- A_f = พื้นที่หน้าตัดของบ่ารองรับ
- I_f = โมเมนต์ความเฉื่อยของบ่ารองรับ

ปริมาณแรงดัดในเหล็กเสริมอัดแรงที่ใช้ในขั้นตอนการก่อสร้างนี้ สามารถพิจารณาจากการควบคุมไม่ให้เกิดรอยแตกในบ่ารองรับ ซึ่งเขียนเป็นสมการของหน่วยแรงที่ผิวบนของบ่ารองรับในขั้นตอนการอัดแรงและสมการของหน่วยแรงที่ผิวล่างของบ่ารองรับในขั้นตอนที่เทคอนกรีตส่วนของเอว ดังแสดงในสมการที่ (3.11)

$$\begin{aligned} -\frac{F_{e,f}}{A_f} + \frac{F_{e,f}e_f y_f}{I_f} - \frac{M_{D,f}y_f}{I_f} &< f_{cr} \\ -\frac{F_{e,f}}{A_f} - \frac{F_{e,f}e_f y_f}{I_f} + \frac{(M_{D,f} + M_{D,w})y_f}{I_f} &< f_{cr} \end{aligned} \quad (3.11)$$



รูปที่ 3.6 การกระจายของค่าความเครียดในแต่ละชั้นตอนการก่อสร้าง : (ก) เนื่องจากน้ำหนักส่วนบ้ำรองรับ, (ข) เนื่องจากแรงอัดบางส่วนในบ้ำรองรับ, (ค) ผลลัพธ์ของชั้นตอน (ก) และ (ข), (ง) เนื่องจากแรงอัดเพิ่มเติมเมื่อส่วนของเอวช่วยรับแรง, (จ) เนื่องจากน้ำหนักบรรทุกคงที่จากคานหลัก, (ฉ) ผลลัพธ์ของชั้นตอน (ค) (ง) และ (จ), (ช) เนื่องจากน้ำหนักบรรทุกจร

3.3 พฤติกรรมการรับแรงดัดของคานขวางรูปตัวทีที่ถึงสำเร็จรูป

พฤติกรรมรับแรงดัดของโครงสร้างคอนกรีตเสริมเหล็ก หรือ โครงสร้างคอนกรีตอัดแรง โดยทั่วไปจะศึกษาจากความสัมพันธ์ระหว่างโมเมนต์และความโค้งบนหน้าตัด ซึ่งจะช่วยให้ทราบถึงพฤติกรรมของหน้าตัดทางด้านกำลัง ความเหนียว และหน่วยแรงที่เกิดขึ้นในคอนกรีตและเหล็กเสริม โดยการวิเคราะห์ความสัมพันธ์นี้จะต้องทราบคุณสมบัติของวัสดุ ขนาดหน้าตัดของคานขวาง และปริมาณเหล็กเสริม

3.3.1 ความสัมพันธ์ระหว่างหน่วยแรงและความเครียดของวัสดุ

ความสัมพันธ์ของหน่วยแรงอัดและความเครียดในคอนกรีตจะเป็นแบบไม่เชิงเส้น Hognestad (1951) ได้เสนอสมการจำลองความสัมพันธ์ระหว่างหน่วยแรงอัดและความเครียดของคอนกรีตดังนี้

$$\sigma_c = f'_c \left(2 \left(\frac{\epsilon}{\epsilon_0} \right) - \left(\frac{\epsilon}{\epsilon_0} \right)^2 \right) \tag{3.12}$$

โดย

f_c = หน่วยแรงในคอนกรีตที่ความเครียดใดๆ

f'_c = กำลังอัดของแท่งคอนกรีตรูปทรงกระบอกสูง 30 cm เส้นผ่านศูนย์กลาง 15 cm

ϵ = ค่าความเครียดใดๆ

ϵ_0 = ความเครียดเมื่อคอนกรีตมีหน่วยแรงสูงสุดเท่ากับ f'_c

ความสัมพันธ์ของหน่วยแรงและความเครียดของเหล็กเสริมใช้แบบจำลองแบบ
อีลาสติก-พลาสติก ตามสมการที่ (3.13)

$$\begin{aligned} f_s &= E_s \varepsilon_s & ; \varepsilon \leq \varepsilon_y \\ &= f_y & ; \varepsilon > \varepsilon_y \end{aligned} \quad (3.13)$$

ความสัมพันธ์ของหน่วยแรงดึงและความเครียดของเหล็กเสริมอัดแรงจะใช้
ความสัมพันธ์ตามสมการที่ (3.14)

$$f_{ps} = E \varepsilon_{ps} \left[0.013 + \frac{0.987}{\sqrt[6]{1 + (108 \times \varepsilon_{ps})^6}} \right] \quad (3.14)$$

3.3.2 ปริมาณเหล็กเสริมในคานขวาง

สำหรับคานขวางเสริมเหล็กเพื่อให้คานขวางมีพฤติกรรมทางด้านความเหนียว
ปริมาณเหล็กเสริมควรจะมีค่าน้อยกว่าปริมาณเหล็กเสริมสมดุล (ρ_b) โดยมาตรฐาน S1318-05 ได้
กำหนดให้ปริมาณเหล็กเสริมมากสุดในคานควรมีค่าไม่เกิน 75% ของปริมาณเหล็กเสริมสมดุลตาม
แต่ เพื่อให้คานมีพฤติกรรมทางด้านความเหนียวและไม่มีปัญหาในการจัดเรียงเหล็กเสริม การศึกษา
นี้จึงใช้ปริมาณเหล็กเสริมมากสุดไม่เกิน 37.5% ของปริมาณเหล็กเสริมสมดุลตามสมการที่ (3.15)

$$\rho = 0.375 \rho_b = 0.375 \left(\frac{0.85 f_c'}{f_y} \right) \beta_1 \left(\frac{\varepsilon_{cu}}{\varepsilon_{cu} + \varepsilon_y} \right) \quad (3.15)$$

- โดยที่
- f_c' = กำลังรับแรงอัดประลัยของคอนกรีต (กก./ซม.²)
 - f_y = กำลังรับแรงดึงที่จุดครากของเหล็กเสริม (กก./ซม.²)
 - β_1 = ตัวคูณประกอบสำหรับความลึกของบล็อกหน่วยแรงอัดเทียบเท่า
 - = 0.85 เมื่อ $f_c' \leq 280$ กก./ซม.²
 - = $0.85 - 0.05 \left(\frac{f_c'}{280} \right)$ เมื่อ $280 < f_c' \leq 560$
 - = 0.65 เมื่อ $f_c' > 560$ กก./ซม.²
 - ε_{cu} = ความเครียดประลัยของคอนกรีต = 0.003
 - ε_y = ความเครียดของเหล็กเสริมที่จุดคราก = $\frac{f_y}{E_s}$

$$E_s = \text{ค่าโมดูลัสยืดหยุ่นของเหล็กเสริม} = 2 \times 10^6 \text{ กก./ชม.}^2$$

สำหรับคานคอนกรีตเสริมเหล็กอัดแรงมาตรฐาน S318-05 กำหนดปริมาณการเสริมเหล็ก สูงสุดไว้ตามสมการที่ (3.16)

$$\omega_t = \omega_p + (\omega - \omega') \leq 0.32\beta_1$$

$$\omega_p = \rho_p \frac{f_{ps}}{f_c'} = \left(\frac{A_{ps}}{bd_p} \right) \left(\frac{f_{ps}}{f_c'} \right)$$

$$\omega = \rho \frac{f_y}{f_c'} = \left(\frac{A_s}{bd} \right) \left(\frac{f_y}{f_c'} \right)$$

(3.16)

$$\omega' = \rho' \frac{f_y}{f_c'} = \left(\frac{A_s'}{bd} \right) \left(\frac{f_y}{f_c'} \right)$$

โดยที่	ω_p	= ค่าดัชนีการเสริมลวดอัดแรง
	ω	= ค่าดัชนีการเสริมเหล็กรับแรงดึง
	ω'	= ค่าดัชนีการเสริมเหล็กรับแรงอัด
	ρ_p	= อัตราส่วนการเสริมลวดอัดแรง
	ρ	= อัตราส่วนการเสริมเหล็กรับแรงดึง
	ρ'	= อัตราส่วนการเสริมเหล็กรับแรงอัด
	f_{ps}	= หน่วยแรงในลวดอัดแรงที่สภาวะประลัย (กก./ชม. ²)
	A_{ps}	= พื้นที่หน้าตัดของลวดอัดแรงที่รับแรงดึง (ชม. ²)
	A_s	= พื้นที่หน้าตัดของเหล็กเสริมรับแรงดึง (ชม. ²)
	A_s'	= พื้นที่หน้าตัดของเหล็กเสริมรับแรงอัด (ชม. ²)
	b	= ความกว้างของคานส่วนที่รับแรงอัด (ชม.)
	d_p	= ความลึกประสิทธิผลของลวดอัดแรงที่จากผิวบนสุดที่รับแรงอัดถึงจุดศูนย์กลาง (ชม.)
	d	= ความลึกประสิทธิผลของเหล็กเสริม (ชม.)

อย่างไรก็ตามมาตรฐาน S318-05 ได้กำหนดอัตราส่วนเหล็กต่ำสุด (ρ_{min}) สำหรับโครงสร้างรับแรงดัดไว้ในสมการที่ (3.17) เพื่อเป็นการป้องกันการวิบัติอย่างเฉียบพลัน เมื่อส่วนโครงสร้างนั้นรับแรงดัด

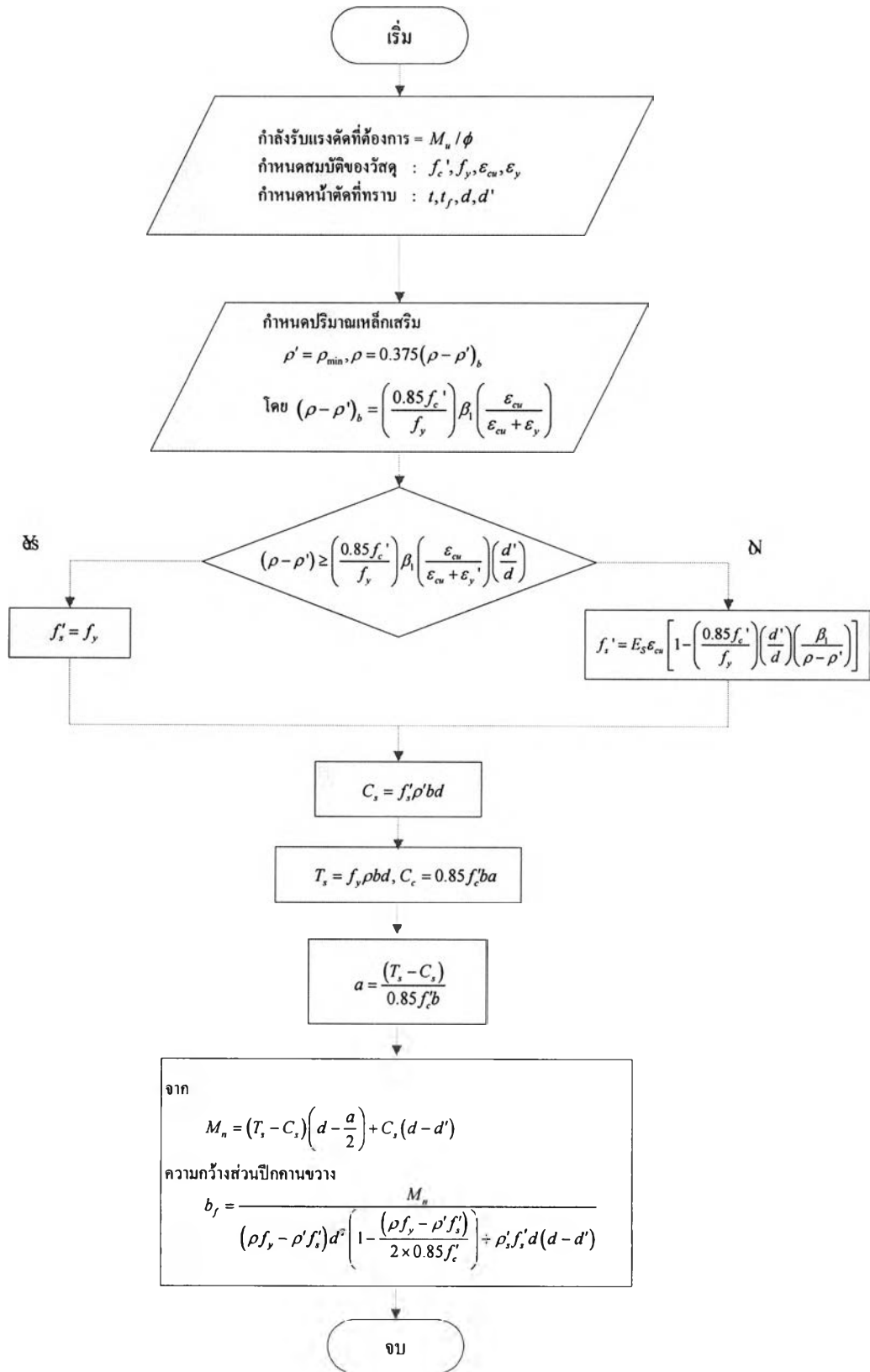
$$\rho_{\min} = \frac{0.79\sqrt{f_c'}}{f_y} \leq \frac{14}{f_y} \quad (3.17)$$

ในการศึกษานี้จะกำหนดให้ปริมาณเหล็กเสริมมีค่าสูงสุดเพื่อให้ขนาดของคานขวางเล็กสุดซึ่งจะช่วยให้ขั้นตอนการก่อสร้างคานสำเร็จดำเนินการได้ง่ายเนื่องจากมีน้ำหนักคานสำเร็จน้อยสุด สำหรับเหล็กเสริมในส่วนที่ไม่ใช่เหล็กเสริมหลักที่มีผลต่อพฤติกรรมของคานขวางแล้วเสร็จแต่ต้องทำการเสริมเพื่อให้มีกำลังต้านทานแรงดัดขณะยกหรือขณะหล่อคอนกรีตในที่จะใช้ปริมาณเหล็กเสริมน้อยสุด

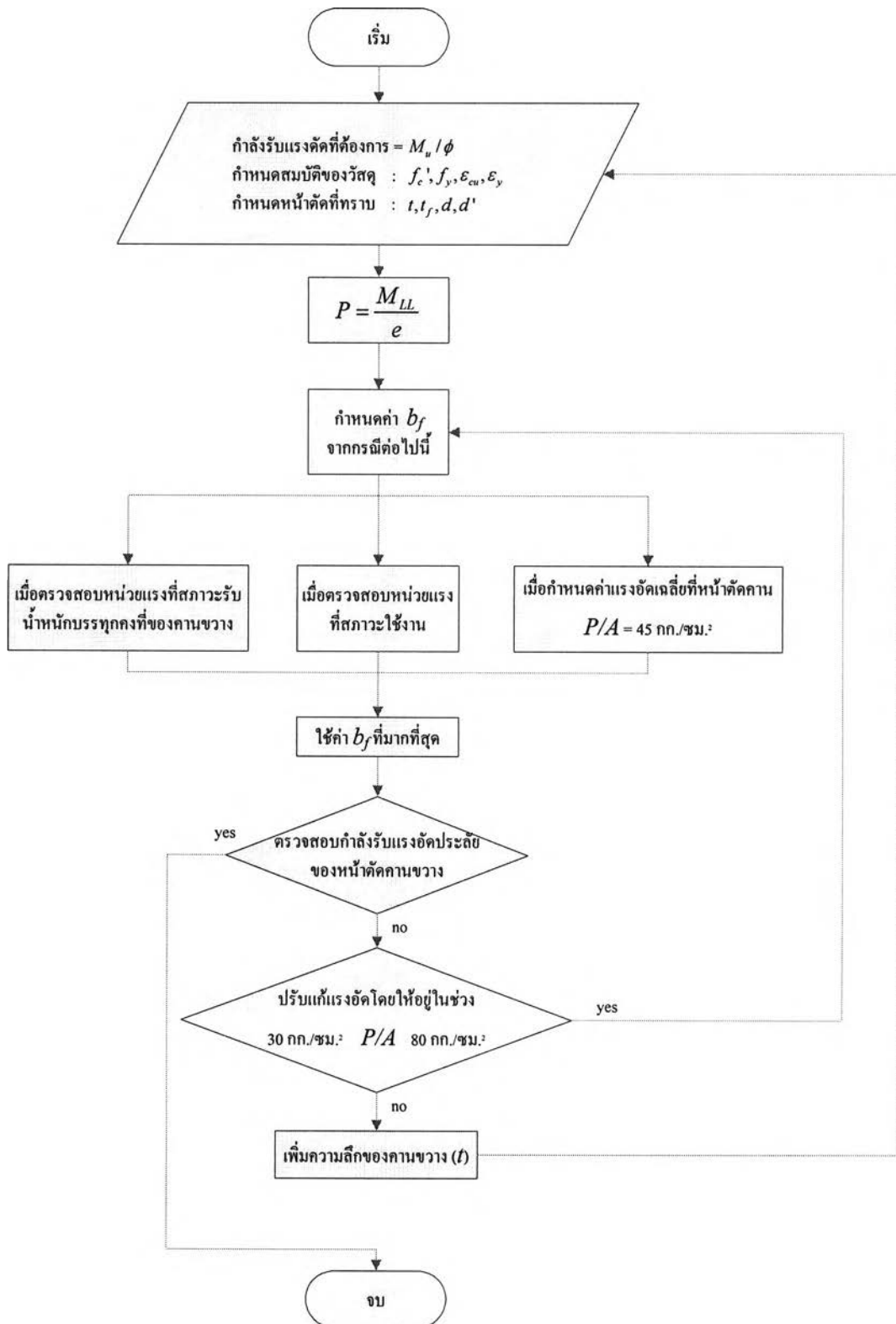
3.3.3 ขนาดหน้าตัดของคานขวาง

จากในหัวข้อของกำลังรับแรงเฉือนในบ่ารองรับ ความหนาส่วนของบ่ารองรับจะถูกกำหนดให้มีกำลังรับแรงเฉือนเพียงพอเพื่อป้องกันการวิบัติเฉพาะที่ในส่วนบ่ารองรับ สำหรับความสูงของคานขวางจะถูกกำหนดจากความสูงของคานหลัก ดังนั้นจะมีส่วนของความกว้างส่วนเอวที่จะต้องทำการพิจารณาเพื่อให้คานขวางนี้มีกำลังรับโมเมนต์ดัดเพียงพอที่จะต้านทานน้ำหนักกระทำทั้งหมดของ โครงสร้างแล้วเสร็จ

แผนผังแสดงในรูปที่ 3.7-3.8 สรุปถึงขั้นตอนการพิจารณาความกว้างของคานขวางเพื่อให้มีกำลังรับโมเมนต์ดัดเพียงพอของคานคอนกรีตเสริมเหล็กและคานคอนกรีตเสริมเหล็กอัดแรง ตามลำดับ โดยที่มีการเสริมเหล็กมากที่สุดเท่าที่มาตรฐานกำหนดได้กล่าวไว้ในหัวข้อที่แล้ว



รูปที่ 3.7 ขั้นตอนการหาขนาดความกว้างของส่วนปีกคานขวงคอนกรีตเสริมเหล็ก



รูปที่ 3.8 ขั้นตอนการหาขนาดความกว้างของส่วนปีกคานขวางคอนกรีตเสริมเหล็กอัดแรง

3.3.4 การวิเคราะห์ความสัมพันธ์ระหว่างโมเมนต์ดัดกับความโค้ง

การวิเคราะห์หน้าตัดจะนำหลักการความเครียดสอดคล้องมาใช้ร่วมกับสมมูลของแรงที่หน้าตัด เพื่อหาความสัมพันธ์ของโมเมนต์และความโค้งของหน้าตัด รูปที่ 3.6x แสดงการกระจายค่าความเครียดเนื่องจากโมเมนต์กระทำจากภายนอก ซึ่งเมื่อนำไปรวมกับค่าความเครียดที่มีอยู่เดิมจากขั้นตอนการก่อสร้างก่อนหน้าี้จะมีค่าความรวมดั่งแสดงในรูปที่ 3.6x จากการกระจายค่าความเครียดนี้จะสามารถคำนวณหาแรงอัดเนื่องจากคอนกรีต และแรงดึงเนื่องจากเหล็กเสริมโดยที่ผลรวมของแรงสองส่วนนี้ต้องเท่ากับศูนย์สำหรับการวิเคราะห์คาน เพื่อที่หน้าตัดอยู่ในสภาวะสมมูล

เมื่อน้ำตัดอยู่ในสมมูล ค่าความโค้งและค่าโมเมนต์จะสามารถคำนวณได้ตามสมการที่ (3.18) และ (3.19) ตามลำดับ

$$\phi = \frac{\epsilon_c}{c} \quad (3.18)$$

$$M = T(d - c + \bar{x}) \quad (3.19)$$

โดยที่

- ϕ = ค่าความโค้งใดๆ
- ϵ_c = ค่าความเครียดที่ผิวบน
- M = โมเมนต์เนื่องจากแรงกระทำ
- C_c = แรงอัดลัพท์
- T = แรงดึงในเหล็กเสริม
- d = ระยะตำแหน่งเหล็กเสริม
- c = ระยะที่ค่าความเครียดเป็นค่าความเครียดอัด
- \bar{x} = ตำแหน่งที่แรงอัดลัพท์กระทำบนหน้าตัด

เนื่องจากค่าความเครียดอัดกระจายอยู่ในคอนกรีตดังนั้นจึงจำเป็นต้องทำการหาแรงอัดลัพท์ในคอนกรีต (C_c) และค่าโมเมนต์เนื่องจากแรงอัดในคอนกรีต (M_c) จากการอินทิเกรตค่าของหน่วยแรงในพื้นที่ของคอนกรีตที่รับแรงอัด ดังแสดงในสมการที่ (3.20)-(3.21)

$$f_c = f'_c \left(\frac{2\phi x}{\epsilon_0} - \left(\frac{\phi x}{\epsilon_0} \right)^2 \right); \epsilon = \phi x \quad (3.20)$$

$$C_c = \int_0^c f_c b dx = bf'_c \int_0^c \left(\frac{2\phi x}{\epsilon_0} - \frac{\phi^2 x^2}{\epsilon_0^2} \right) dx \quad (3.21)$$



$$C_c = b f_c' \frac{\phi}{\epsilon_0} c^2 \left(1 - \frac{\phi c}{2\epsilon_0} \right) \quad (3.22)$$

$$M_c = \int_0^c f_c b x dx = b f_c' \int_0^c \left(\frac{2\phi x}{\epsilon_0} - \frac{\phi^2 x^2}{\epsilon_0^2} \right) x dx \quad (3.23)$$

เมื่อจัดรูปสมการที่ (3.23) ให้อยู่ในรูปของแรงอัดลัพท์จะได้ค่าตำแหน่งที่แรงอัดลัพท์กระทำในคอนกรีตดังแสดงในสมการที่ (3.24)

$$\begin{aligned} C_c \bar{x} &= M_c \\ \bar{x} &= c \left(\frac{8\epsilon_0 - 3\phi c}{12\epsilon_0 - 4\phi c} \right) \end{aligned} \quad (3.24)$$

ในทำนองเดียวกันแรงดึงในเหล็กเสริมและเหล็กเสริมอัดแรง (T) จะสามารถคำนวณได้จากค่าความเครียด ณ ตำแหน่งเหล็กเสริม

ในการศึกษานี้จะทำการวิเคราะห์ที่ 3 สภาวะคือ จุดที่ความเครียดที่คอนกรีตที่ผิวล่างของคอนกรีตเกิดการแตกร้าว, จุดที่เหล็กเสริมรับแรงดึงถึงจุดคราก, และจุดประลัยเมื่อค่าความเครียดอัดที่ผิวบนสุดถึงค่าความเครียดอัดแตก (0.003)

ค่าความเหนียวสามารถพิจารณาจากสัดส่วนของค่าความโค้งที่จุดประลัยต่อค่าความโค้งที่จุดคราก

3.4 การแ่นตัวของคานคอนกรีต

ในการคิดค่าการแ่นตัวที่เกิดขึ้นทันทีหลังมีน้ำหนักบรรทุกทุกสามารถคิดจากการทฤษฎีอีลาสติค หากไม่มีการแตกร้าวสามารถใช้ค่าสติฟเนสของหน้าตัดทั้งหมด $E_c I_g$ ในการพิจารณาการแ่นตัว ในกรณีที่มีการแตกร้าวเกิดขึ้นในคอนกรีตค่าโมเมนต์ความเฉื่อยประลัย I_e ซึ่งมีค่าอยู่ระหว่าง I_g และ I_{cr} โดยเป็นฟังก์ชันของ M_{cr}/M_a

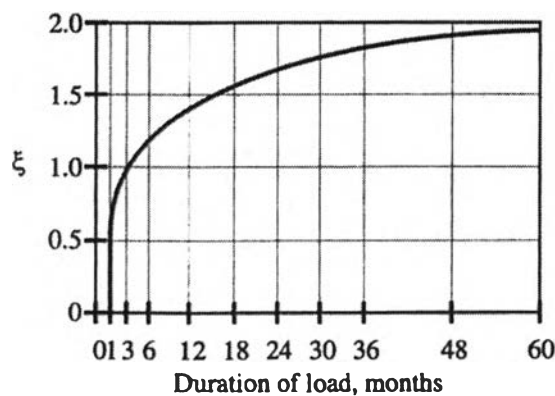
$$I_e = \left(\frac{M_{cr}}{M_a} \right)^3 I_g + \left[1 - \left(\frac{M_{cr}}{M_a} \right)^3 \right] I_{cr} \quad (3.25)$$

โดยที่ M_a = ค่าโมเมนต์มากที่สุดเมื่อคำนวณการแ่นตัว

การแอ่นตัวที่เกิดขึ้นในระยะยาวสามารถคำนวณได้จากสมการที่ให้ไว้ในมาตรฐาน
 SI318-05 สำหรับหน้าตัดที่เกิดการแตกร้าวแล้วโดยการคูณค่าการแอ่นตัวในทันทีด้วยตัวคูณ λ_Δ

$$\lambda_\Delta = \frac{\xi}{1 + 50\rho'} \quad (3.26)$$

เมื่อค่า ρ' คำนวณได้จากกลางช่วงคานและค่า ξ คือค่าตัวคูณที่ขึ้นอยู่กับเวลาสำหรับ
 น้ำหนักบรรทุกตายตัวใช้ 2.0 สำหรับ 5 ปีขึ้นไป



รูปที่ 3.9 ค่าตัวคูณสำหรับการแอ่นตัวระยะยาว

สำหรับหน้าตัดที่ยังไม่แตกร้าวคิดได้จากคูณค่าการแอ่นตัวที่คำนวณจากทฤษฎีอีลาสติกใน
 ทันทีทันทีด้วยค่าสัมประสิทธิ์การคืบ C_c

$$\Delta_{longterm} = C_c \times \Delta \quad (3.27)$$

โดย $C_c = (1 + \text{ความเครียดจากการคืบ} / \text{ความเครียดที่เกิดขึ้นทันที})$

3.5 ขนาดของรอยร้าวจากการคืบ

เนื่องจากความกว้างรอยร้าวมีผลต่อความคงทน (durability) ของโครงสร้างคอนกรีตเสริม
 เหล็ก สมการการคำนวณความกว้างของรอยร้าวมีพื้นฐานจากผลทางสถิติได้จากการทดสอบซึ่งใน
 การศึกษานี้ใช้แบบจำลองเสนอโดย Gergely และ Lutz (1968) ดังแสดงในสมการที่ (3.28)

$$w_c = 1.0806 \times 10^{-6} \beta f_s \times \sqrt[3]{d_c A} \quad \text{เซนติเมตร} \quad (3.28)$$

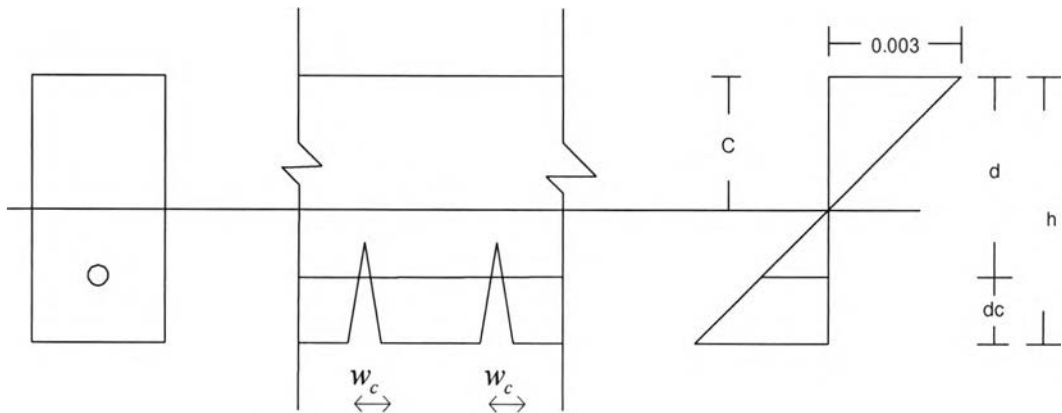
โดย

β = อัตราส่วนระยะจากแกนสะเทินถึงผิวล่างสุดรับแรงดึงของ หน้าตัดคาน และระยะจากแกนสะเทินถึงจุดศูนย์กลางแรงดึง

f_c = ความเค้นของเหล็ก

d_c = ระยะหุ้มของคอนกรีตวัดจากศูนย์กลางของเหล็กแฉวล่างสุด

A = พื้นที่ประสิทธิผลของคอนกรีตล้อมรอบเหล็กเสริม



รูปที่ 3.10 การกระจายความเครียดในหน้าตัดแตกร้าวและค่าที่ใช้ในการคำนวณความกว้างรอยร้าว